

УДК 546.56:539.216.2+620.17

ИССЛЕДОВАНИЕ СТАБИЛЬНОСТИ МЕХАНИЧЕСКИХ И СТРУКТУРНЫХ
ХАРАКТЕРИСТИК КОНДЕНСАТОВ МЕДИ

Т.Г.Белейчева, К.К.Зилинг, В.Ю.Пчелкин

Использование тонких пленок в несущих конструкциях требует знания стабильности механических свойств и соответствующих структурных характеристик, определяющих эти свойства.

Согласно литературным данным [1] "естественное старение" конденсированных пленок может сопровождаться укрупнением блоков, уменьшением микронапряжений и падением прочности. Сообщалось [2], также об изменении параметра решетки конденсатов во времени. Приведенные сведения относятся к пленкам, конденсированным на подложки с температурой ниже $(90\text{--}130)^\circ\text{C}$. Данные о стабильности структуры и свойств конденсатов, полученных при более высоких температурах, отсутствуют.

В настоящей работе исследуется стабильность прочностных свойств и характеристики субструктуры конденсированных пленок меди, полученных при температуре подложки 200°C .

Постановка эксперимента. Эксперимент проведен на пленках толщиной 2 мк, полученных испарением материала чистотой 99,997% из молибденового тигля трубчатого испарителя [3] в вакууме $6 \cdot 10^{-6}$ тор. Осаждение проводилось со ско-

ростью 0,3 – 0,4 мк/мин на полированные подложки, покрытые буферным слоем $NaCl$. Пленки отделяли от подложки, растворяя подслой $NaCl$. Механические свойства образцов с размерами рабочей части $1 \times 4 \text{ mm}^2$ измерялись на микроразрывной установке [4], имеющей точность измерения перемещений 1 мк.

Субструктура пленок исследовалась на рентгеновском дифрактометре УРС-50И в излучении медного анода. Интенсивность линий измерялась по точкам путем счета импульсов. Регистрировались два порядка отражения от плоскостей (331) и (200), по которым определялись средний размер областей когерентного рассеяния (о.к.р.) \bar{d} и микродеформации ε с использованием методик Уоррена-Авербаха [5] и Куколя [6], давших практически совпадающие результаты.

По относительному смещению положения линий (331) и (200) оценивалась вероятность появления деформационных дефектов упаковки α , а по методу [5] – сумма вероятностей появления дефектов упаковки деформационного и двойникового типов ($1,5\alpha + \beta$). Параметр решетки определялся по положению линий (420) с погрешностью $\pm 1,7 \cdot 10^{-4} \text{ \AA}$. Эталоном служила медная пленка, полученная при температуре подложки 45°C и отожженная в вакууме при 700°C в течение 30 мин.

Предварительная обработка данных (поправка на кернное время счетчика, вычет фона, нормировка) и гармонический анализ кривых интенсивности проведены на ЭВМ.

Результаты и обсуждение. Рентгено-графические измерения показали, что заметные изменения субструктур пленок наблюдаются в первые две недели после ее получения. Дальнейшее вылеживание в течение трех месяцев не приводит к существенным изменениям субструктур.

Характерные зависимости величин \bar{d}_{200} , ε и $(1,5\alpha + \beta)$ от времени вылеживания t приведены на рис. I, а-в, соответственно. Видно, что кривая $\bar{d}-t$ может быть разделена на 2 участка, первый из которых характеризуется ростом \bar{d} , а второй – немонотонным изменением размеров о.к.р. с минимумом, приходящимся на 4–6 сутки вылеживания.

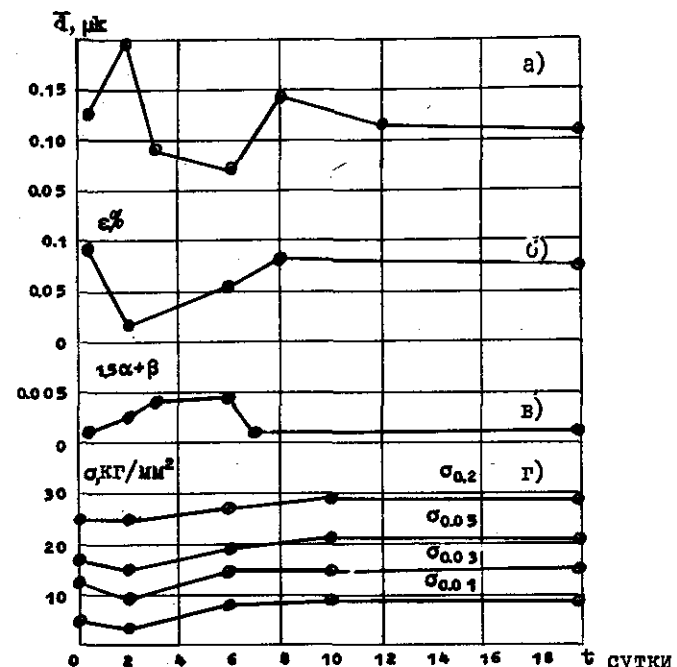


Рис. I

Чувствительность метода позволяет надежно определять величину \bar{d} только при $\bar{d} < 10^3 \text{ \AA}$, следовательно, изменения на первом участке кривой в данном случае могут быть зафиксированы только качественно. Тем не менее сам факт увеличения размеров о.к.р. наблюдался на всех исследованных образцах, в том числе и при $\bar{d} < 10^3 \text{ \AA}$, как это видно из таблицы.

Время вылеживания (сутки)	1,5	3,7	5,7	16,7
Величина о.к.р., \AA	770	940	870	10^3

Сопоставление рис. I, а и I, в показывает, что изменение размеров о.к.р. на втором участке коррелирует с изменением концентрации дефектов упаковки, причем минимуму на кривой $\bar{d}-t$ соответствует максимальное значение величины $1,5\alpha + \beta$. Учет

вклада дефектов упаковки в уширение линий приводит к тому, что истинный размер о.к.р. на всем обсуждаемом участке кривой $\sigma-t$ оказывается больше 10^3 Å и, следовательно, минимум на этой кривой является фиктивным. Причины немонотонности изменения со временем микродеформаций подробно не исследовалась. Возможно [7], данный эффект связан с изменением угла разориентации блоков. Заметим, что аналогичные изменения субструктуры со временем неоднократно наблюдались на массивных металлах после пластической деформации [7-II].

Поскольку в исследованных пленках относительного смещения линий (III) - (200) не наблюдалось, большая часть образовавшихся при вылеживании дефектов упаковки являлась двойниковой. В настоящей работе в отличие от данных, приведенных в [2], не обнаружено какого-либо отклонения параметра решетки от табличного значения, которое можно было бы рассматривать как результат наличия большого количества избыточных вакансий.

На рис. I, г показана зависимость от времени механических свойств конденсаторов. Видно, что изменение прочностных характеристик происходит также в 2 этапа. Непосредственно после получения наблюдается падение напряжения течения, отчетливо видимое при деформациях, соответствующих пределу упругости. Уменьшение $\sigma_{0.01}$ соответствует росту о.к.р.

На втором этапе, который начинается через 2-3 суток после получения, зафиксировано существенное увеличение напряжений течения и подъем всей диаграммы растяжения (см. рис. 2). Кривая I получена непосредственно после изготовления пленки, кривая 2 - после полного старения. Максимальное упрочнение достигается через 6-8 суток. При дальнейшем вылеживании механические свойства не меняются. Видно, что связь параметров субструктуры, определенных рентгенографически, с изменениями механических свойств отсутствует. Если изменение концентрации двойников отрицательно оказывает влияние на прочностные характеристики, это влияние незначительно и маскируется действием

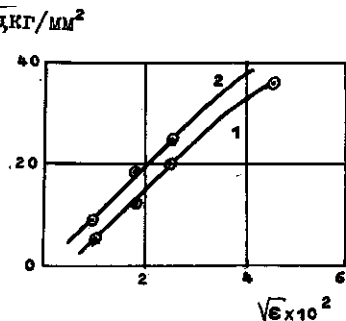


Рис. 2

других структурных факторов, которые не фиксируются примененными в работе рентгеноструктурными методами.

Аналогичные изменения механических свойств наблюдались в [12] на массивной меди после закалки и рассматривались как следствие образования сидящих дислокационных петель за счет адсорбции вакансий. В более поздних работах (см., [13]) пока зано, что упрочнение может быть вызвано и рядом других дефектов структуры, характер которых определяется предысторией об разцов и наличием примесей. В частности, возможность упрочнения за счет появления так называемых "темных пятен", являющихся, по-видимому, скоплениями вакансий, продемонстрировано в работе [14].

Таким образом, однозначное определение вида дефектов, ответственных за изменение прочностных свойств, может быть выполнено только методами просвечивающей электронной микроскопии.

Заключение. Приведенные данные позволяют сделать вывод о том, что при вылеживании исследованных конденсаторов идут два процесса изменения субструктуры: укрупнение о.к.р. и изменение концентрации дефектов упаковки двойникового типа.

Увеличение размеров о.к.р. наиболее интенсивно протекает в первые двое суток с момента получения и является ответственным за падение напряжения течения вблизи предела упругости.

Второй процесс - изменение концентрации двойников - вызывает появление фиктивного минимума на кривой $\sigma-t$.

При дальнейшем вылеживании в течение 3 месяцев существенных изменений не обнаружено.

Наблюданное через 6-8 суток после получения необратимое повышение механических свойств не коррелирует с изменениями субструктуры, найденными рентгеновскими методами. Судя по литературным данным, характер дефектов кристаллической решетки, ответственных за изменения прочности, может быть определен только электронно-микроскопическими методами.

Л и т е р а т у р а

1. ПАЛАТНИК И.С., ФУКС М.Я., АЛВЕРДОВА О.Г., ИЛЬИНСКИЙ А.И., ГЕВЛЕВИЧ П.Г. Субструктура вакуумных конденсаторов меди после выжигания и отжига. -ФМи, 1967, г. 23, стр.892.
2. ПАЛАТНИК И.С., ИЛЬИНСКИЙ А.И. Об эффекте закалки вакансий в вакуумных конденсаторах меди и серебра.-ФТТ, 1962, т.4, стр.3564.
3. ПЧЕЛКИН В.Ю., СОЛДАТЕНКОВ И.С., ХОРОМЕНКО А.А. Трубчатый испаритель. -"Приборы и техника эксперимента", 1971, № 4 , стр. 174-175.
4. КОСТОК В.Г., ЗИЛЛИНГ К.К., СЕРЕБРИКОВ А.В. Прочностные свойства металлических нитевидных кристаллов с примесями.-ФТТ, 1963, т.5, стр. 3060.
5. УОРРЕН Б.И. Рентгенографическое изучение деформированных металлов. -"Успехи физики металлов", т.5, М., "Металлург -издат", 1963, стр. 172.
6. КУКОЛЬ В.В. Раздельное определение среднего размера блоков и микротекущий кристаллической решетки упрощенным аналитическим методом.-"Заводская лаборатория", 1968, т.34, стр.1088.
7. ШИВРИН О.Н. О механизме полигонизации при низкотемпературном отжиге деформированной меди.-ФМи, 1969, т.28, стр.903.
8. ИВЕРОНОВА В.И., ОСИПЕНКО Н.Н. Рекристаллизация порошков чистых металлов. -ФМи, 1960, т. 10, стр. 736.
9. ОСИПЕНКО Н.Н. Рекристаллизация порошков никеля. -ФМи , 1965, т. 20, стр. 143.
10. ИВЕРОНОВА В.И., ОСИПЕНКО Н.Н. Низкотемпературный отжиг пластически деформированных металлов. -ФМи, 1965, т.20, стр.417.
11. СИРЕНКО Г.А., ХОТКЕВИЧ В.М. Рентгенографическое исследование субструктуры меди и никеля, пластически деформированных при низких температурах. -Сб."Изучение дефектов кристаллического строения металлов и сплавов", Киев, Изд-во "Научная мысль", 1966, стр. 14.
12. KIMURA H., MADDIN R., KUHLMAN-WILSDORF D. Quenched - in Vacancies in Noble Metals - II Mechanism of Quench Hardening. - "Acta met.", 1959, vol.7, p.154.
13. КИМУРА Г., МАДДИН Р. Влияние закаленных вакансий на механические свойства металлов и сплавов. -"Дефекты в закаленных металлах", М., "Атомиздат", 1969, стр. 188.
14. GALLIGAN J., WASHBURN J. Effect of Vacancy Clusters on Yielding and Strain Hardening of Copper. - "Phil.Mag.", 1963, vol.8, p.1455.

Поступила в ред.-изд.отд .
14 июня 1972 года